

水路狭窄部の局所洗掘について

日本大学理工学部 正員 麻津清哉

1. まえがき： 一様水路の水流を単に normal flow と呼び、水路内に狭窄部を設置すると normal flow は乱される、この乱された流れを一般に局所流と呼ぶ。局所流による河床洗掘を一般に局所洗掘と呼ぶ、この現象は林すアプローチとして、"step-by-step method" と "equilibrium-conditional method" の 2 つの手法を著者所提供した[1]、図-1 の狭窄部における局所洗掘を対象として、step-by-step method によって実験値を整理して

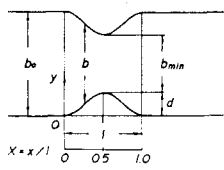


図-1

この手法の有効性を確認するが、この研究の主要目的である。この手法は洗掘発生P.R.界(B.S.A.)：平坦河床上の局所流の性質を明らかにして、その性質と河床物質の性質との関係からB.S.A.の現象を明らかにする、平衡洗掘深(E.S.D.)：B.S.A.における水理量と手入れされた水理量との相対的関係からE.S.D.を解析する手法である。

2. 狹窄部($X=0.5$)横断面上における平均底流速 V_b について。

水平水路の $X=0.5$ の横断面上の 15~20 倍の右流速の平均値は図-2 に示す如く[2]、ここで V_n は $X=0.5$ 断面の normal flow における平均流速； $Re = V_n d / \nu$ 、 V_n は normal flow の P.R. 界流速； $F_n = V_n / \sqrt{g h_n}$ 、 h_n は $X=0.5$ 断面の normal flow における水深。図-2 の關係は normal flow の P.R. 界流速を用いて式(1)によって次のようになら形化された。

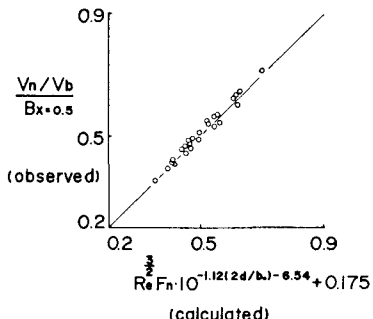


図-2

a_0, a_1 は Reynolds 数、normal flow における P.R. 界流速を意味する。

3. 河床物質の限界底流速について： 河床物質の移動の至る平坦河床上の右流速に関する実験資料より次の関係が得られた[3]、たゞし河床物質の比重 2.60 にて目して整理した式である。

$$\frac{V_b}{V_{bc}} = \frac{1.72}{\{2\sqrt{\rho_s/\rho - 1} g d_m\}^{0.784}} \quad (2)$$

$$\begin{aligned} \frac{V_{bc}}{V_{bc}} &= \frac{1.72}{\{2\sqrt{\rho_s/\rho - 1} g d_m\}^{0.784}} \\ &= 1.72 / (\sqrt{F_n})^{0.784} \end{aligned} \quad (3)$$

$$V_{bc} = 49.6 \sqrt{d_m} \quad (\text{cm} \cdot \text{s-unit}) \quad (4)$$

$$\left. \begin{aligned} 0.175 H_n + a_0 H_n^{-1/2} &= \frac{a_1}{(1-K) V_b} \\ a_0 &= \left(\frac{Q g d^3}{\alpha b_0 V^3} \right)^{1/2} \times 10^{-(1.12K+6.54)} \\ a_1 &= \left(\frac{Q g}{\alpha b_0} \right)^{1/3}, K = \frac{2d}{b_0}, H_n = \frac{h_n}{R_c} \end{aligned} \right\} \quad (1)$$

ここで、 $V_b = \sqrt{f_s \rho}$ 増速速度、 f_s, d_m はそれぞれ河床物質の密度、平均粒径である。河床物質の移動開始時の V_b を限界底流速 V_{bc} とすると、 V_{bc} は V_b の代りに P.R. 界流速で式(3)と(4)式によって表される。

平坦河床面が粗で乱流の場合には常数とする、例えは Shields、岩垣によると 0.056, 0.050 である[4]、两者を勘案して(3)式より(4)式が得られる。

4. 洗掘発生限界 (B.S.A.)： $X=0.5$ の断面における平均底流速 V_b が河床物質の P.R. 界流速に等しくなった時、B.S.A. の現象が狭窄部平坦河床面に生ずるとの推論される、それを式(1)式より(5)式が得られる、
 $0.175 H_{n*} + a_0 H_{n*}^{-1/2} = F \left\{ \frac{a_1}{(1-K) V_{bc}} \right\} \quad (5)$

ここで H_{n*} は B.S.A. における H_n を意味し、この関係は実験資料によって確認する必要がある。

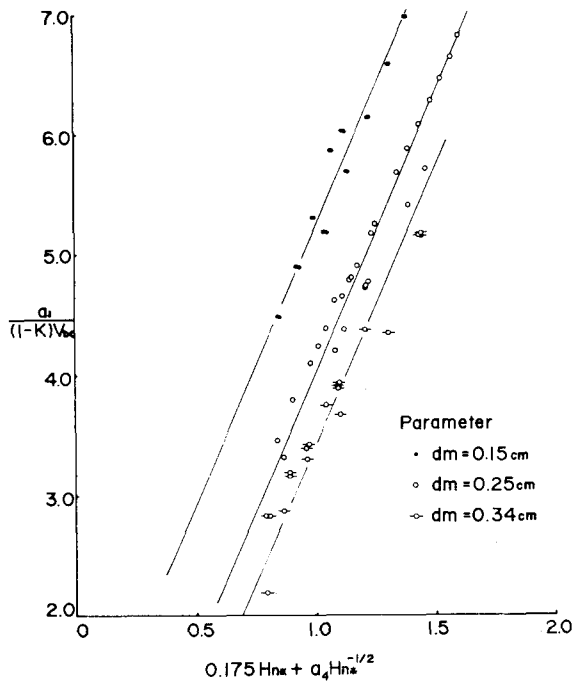


図-3

Experimental Conditions

No.	b_0 (cm)	$Q \cdot 10^{-3}$ (cc/s)	d_s (cm)	d (cm)	l (cm)	$2\pi d/l$	$K=2d/b_0$
1	36.9	12.6~30.6	0.15	6.0	100	0.377	0.325
2	"	12.6~41.6	0.25	4.0	"	0.251	0.217
3	"	20.9~35.9	"	6.0	"	0.377	0.325
4	"	12.6~30.6	"	8.0	"	0.502	0.434
5	"	10.8~28.6	0.34	4.0	"	0.251	0.217
6	"	7.39~25.6	"	6.0	"	0.377	0.325
7	"	7.33~25.4	"	8.0	"	0.502	0.434

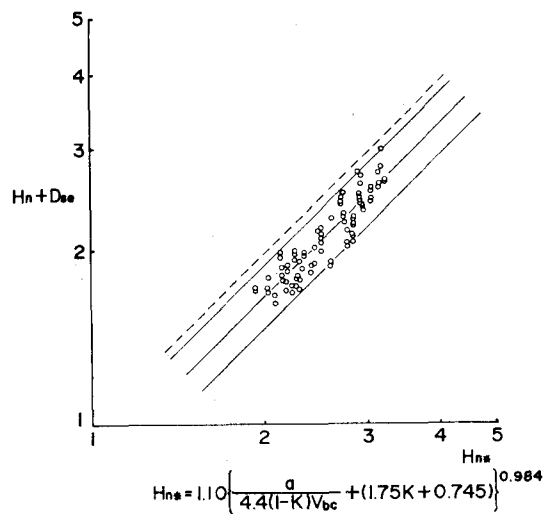


図-4

Experimental Conditions

No.	b_0 (cm)	d_s (cm)	d (cm)	l (cm)	$2\pi d/l$	$K=2d/b_0$
1	36.9	0.15	4.0	50	0.502	0.217
2	"	"	"	100	0.251	"
3	"	"	"	200	0.126	"
4	"	"	6.0	50	0.754	0.325
5	"	"	"	100	0.377	"
6	"	"	"	200	0.188	"
7	"	0.25	4.0	100	0.251	0.217
8	"	"	6.0	"	0.377	0.325
9	"	"	8.0	"	0.502	0.434
10	"	0.34	4.0	"	0.251	0.217
11	"	"	6.0	"	0.377	0.325
12	"	"	8.0	"	0.502	0.434

図-3より(5)式の相應が確認され、(6)式は従つて H_{n*} を求める式とは大差無難であるので他の方向より再検討すれど、図-2の関係は $2h_n = \frac{a_1}{H_{n*}}$, $H_{n*} = 1/\sqrt{2h_n^{3/2}}$ の使用によって、B.S.A. は次のよう推論されれど。

$$\frac{a_1}{(1-K)V_{bc}} = F(H_{n*}, R_{ex}, K) \quad (6)$$

この関係を検討するために、初め左側と H_{n*} の関係を調べ、最終的に図-4の結果が得られた。

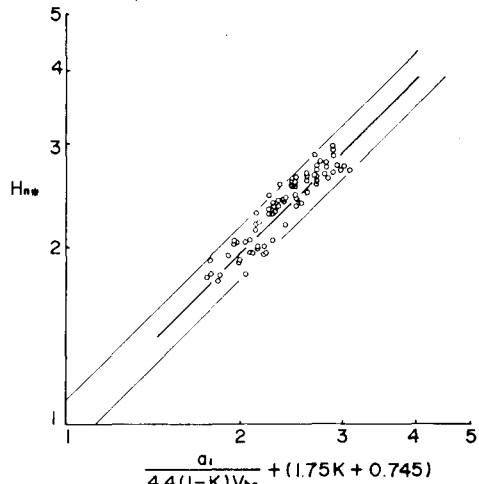


図-5

5. 平衡洗掘深(E.S.D.): $H_n < H_{n*}$ の場合、洗掘現象が生ずる。最大洗掘深 δ_{se} は $normal flow$ の水面から示す、または $h_{n*} + d_{se}$, d_{se} は初期平坦河床面からの洗掘深である。従つて無次元最大洗掘深は次のよう推論されれど。

$$(h_n + d_{se})/h_c = H_n + D_{se} = F(H_{n*}) \quad (7)$$

この関係は図-5によって確認されれど。

参考文献: [1] 萩津:「局所洗掘の分類と提言」土木学会誌 No.52, 「橋脚周辺の洗掘についての検討(第2報)」土木学会誌 No.53, [2] 萩津:「洗掘発生限界と想定した狭窄部の局所洗掘について」土木学会年報 No.55, [3] 萩津:「洗掘機構についての基礎的研究」土木学会論文集 No.52, [4] 例文は Henderson: "Open channel flow" The Macmillan Comp. 1966, 著者: "流れ構造力に関する基礎的研究" 土木学会論文集 No.41.